

УДК 677.074.001.57

**ХУДОЖЕСТВЕННОЕ ОФОРМЛЕНИЕ ТКАНЕЙ
ПУТЕМ ВАРЬИРОВАНИЯ ПАРАМЕТРАМИ
ФАСОННОЙ УТОЧНОЙ НИТИ**

Ю. Б. ФЕДОРОВ, Л. В. СУХОВА, А. Н. СТУПНИКОВ

(Костромской государственный технологический университет)

Одной из основных задач при использовании фасонных нитей с ровничными эффектами в тканях и трикотаже является выбор закона чередования эффектов на нити, позволяющего получить желаемое художественное оформление поверхности ткани или трикотажного изделия. Исследования [1, 2, 3] данного вопроса основаны на математическом моделировании с использованием вычислительной техники, однако прежняя технология не позволяла гибко и в широком диапазоне варьировать геометрические параметры фасонных нитей.

Ассортимент тканых и трикотажных изделий можно значительно расширить, используя при формировании фасонной нити универсальный дискретный привод машины ПК-100 с процессорным управлением, разработанный на кафедре МТВМ, позволяющий функционально управ-

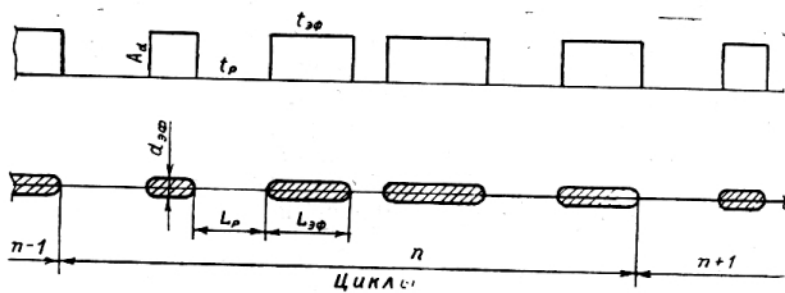


Рис. 1.

лять длиной L_{ϕ} эффекта, расстоянием L_p между эффектами и диаметром d_{ϕ} эффекта. На рис. 1 приведена осциллограмма напряжения на выходе процессора, соответствующая заданной структуре нити.

Нами исследуется микропроцессорное управление формированием фасонной нити на основе одного из алгоритмов. Закон изменения параметров фасонной нити можно задать в виде любой математической зависимости, например, в виде полинома третьей степени. Длина фасонного эффекта в этом случае

$$L_{\phi} = A_0 + A_1 X + A_2 X^2 + A_3 X^3, \quad (1)$$

где A_0, A_1, A_2, A_3 — коэффициенты полинома, характеризующие изменение длины эффекта (принимаются любые вещественные числа);

X — текущее значение аргумента.

Расстояние между эффектами

$$L_p = B_0 + B_1 Y + B_2 Y^2 + B_3 Y^3, \quad (2)$$

где B_0, B_1, B_2, B_3 — коэффициенты полинома, характеризующие изменение расстояния между эффектами;

Y — текущее значение аргумента.

Диаметр эффекта

$$d_{\phi} = C_0 + C_1 Z + C_2 Z^2 + C_3 Z^3, \quad (3)$$

где C_0, C_1, C_2, C_3 — коэффициенты полинома, характеризующие изменение диаметров эффектов;

Z — текущее значение аргумента.

Разработана блок-схема действия процессора, управляющего машиной, вырабатывающей фасонную нить. Для визуальной оценки распределения эффектов на ткани разработана блок-схема моделирования рисунка на ЭВМ, аналогичная алгоритму формирования фасонных эффектов на процессоре (рис. 2).

В отличие от [3] координата эффекта оценивается не центром его расположения, а началом эффекта по отношению к предыдущему, что упрощает алгоритм моделирования распределения эффектов фасонной нити на ткани и соответствует работе процессора.

В предлагаемом алгоритме (рис. 2) диаметр эффектов принят постоянным. Блок 1 осуществляет ввод исходных данных: $A_0, A_1, A_2, A_3, E, F, B_0, B_1, B_2, B_3, G, H, U, V$, где E и G — величины циклов, то есть E —

количество эффектов; G — количество расстояний между эффектами, после которого их последовательность повторяется; F — кратность цикла E ; H — кратность цикла G . Последняя делит весь цикл на две составляющие, в одной из которых аргумент возрастает на величину приращения, а в другой на эту же величину убывает. Например, при $E=4$, $F=2$, $G=4$ и $H=2$ последовательность эффектов показана на рис. 1. Количество уточных прокидок, выводимых на печать, обозначено через U , V — ширина ткани. В блоке 2 выполняется масштабирование ширины ткани, а блок 4 вычисляет приращение ΔX аргумента X для расчета длины эффектов. В блоке 5 вычисляется приращение ΔY аргумента Y для расчета расстояния между эффектами. Для симметричного цикла ($F=H=2$) $\Delta X = (E/2)/(E/F)$ и $\Delta Y = (G/2)/(G/H)$. В блоке 7 осуществляется обнуление счетчика фасонных эффектов, а в блоке 11 рассчитывается длина эффекта согласно (1). В блоке 12 создается талинка

В блоке 12 задается толщина линии, выводимой на принтер: $S=3$ для изображения эффекта и $S=2$ для изображения расстояния между эффектами. В блоке 13 округляется и масштабируется длина эффекта. Вычисление расстояния между эффектами организуется в блоке 18 аналогично вычислению длины эффектов. Блоки 19..32 — алгоритм управления печатью, а 19..20 — проверка условия: рассчитанная длина параметра больше или меньше оставшейся длины уточны в прокидке. В блоке 21 присваивается промежуточная величина A , необходимая для расчета цикла печати параметра фасонной нити, значения V_2 (при $Q > V_2$). В блоках 22 и 24 вычисляется часть параметра фасонной нити, не поместившаяся на данной уточни. В блоке 23 величине A присваивается значение Q (при $Q < V^2$), а в блоке 25 рассчитывается длина оставшейся уточной нити, не оформленной эффектами. Блоки 26 и 27 служат для организации цикла печати вычисленного параметра, где N_2 — длительность цикла печати, определяемая согласно инструкции на печатающее устройство EPSON FX-1000 и зависящая от величины A . В блоке 31 проверяется условие $U=0$, выполнение которого служит критерием выхода на конец программы. Блок 33 обуславливает направление дальнейшего вычисления: расчет $L_{\text{эф}}$ при известной L_p (блок 14) и наоборот. Результатом моделирования является выбор оптимальных вариантов моделей расположения эффектов на поверхности ткани.

Рассмотрим частный случай художественного оформления ткани путем изменения параметров уточной фасонной нити с ровничным эф-

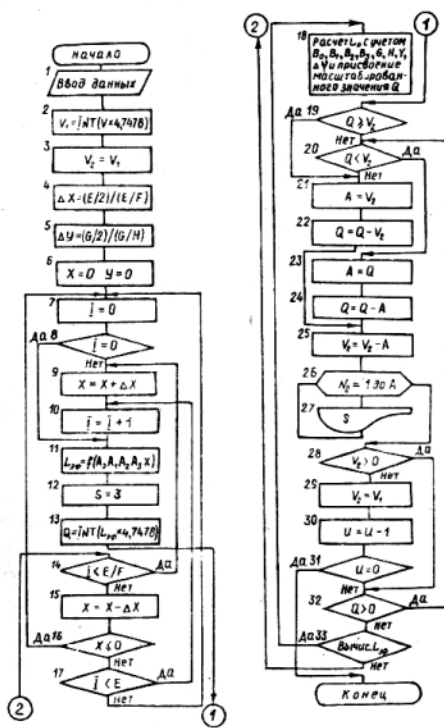


Рис. 2.

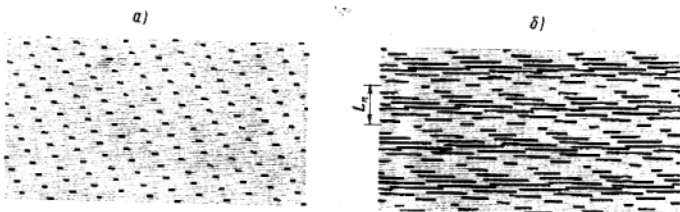


Рис. 3.

фектом. Приняв за базовое, так называемое равномерное, распределение последнего [3] (рис. 3-а) и варьируя циклически длину волокнистого эффекта при сохранении постоянного шага эффектов, получаем продольное периодическое загущение ткани эффектами. Варьировать длину эффекта можно в широком диапазоне, например, рис. 3-б, где изменение длины эффектов задается математической зависимостью $L_{\text{эфф}} = 3,4 + 1,82X$, а расстояние между эффектами зависит от $L_p = 78,89 - 1,82Y$; коэффициенты рассчитаны для диапазона изменения длины эффектов от 3,4 до 40 см: $E=40$, $F=2$, $G=40$, $H=2$, $V=196$ см, $U=70$. Рис. 3 выполнен в масштабе 1: 16,3.

Для воспроизведения выбранного рисунка на ткани перед загрузкой процессора необходимо уточнить коэффициенты A и B :

$$A_{jk} = A_{j\vartheta} K_{\text{пр}}, \quad B_{jk} = B_{j\vartheta} K_{\text{пр}}, \quad (4)$$

где A_{jk} и B_{jk} — коэффициенты контроллера, $j=0; 1; 2; 3$;

$A_{j\vartheta}$ и $B_{j\vartheta}$ — коэффициенты компьютера;

$K_{\text{пр}}$ — коэффициент пропорциональности (экспериментальный).

После введения в процессор уточненных значений коэффициентов A_j , B_j и значений коэффициентов C_j , задающих постоянный диаметр эффектов, процессор выдает в систему привода последовательность импульсов, характеризующих геометрическую структуру фасонной нити (рис. 1). Длительность $t_{\text{эфф}}$ импульса определяет длину $L_{\text{эфф}}$ эффекта; пауза t_p — расстояние L_p между эффектами, а амплитуда A_d импульса — диаметр $d_{\text{эфф}}$ эффекта.

Как показали полученные образцы тканей, вариант распределения эффектов на рис. 3-б, как и базовый (рис. 3-а), устойчив к обрыву уточной нити, то есть некоторое смещение эффектов при ликвидации обрыва на бесчелночном станке не вызывает заметного изменения характера распределения.

Для выработки ткани с фасонной нитью в утке при регулируемых параметрах желательно использовать уточно-настиличные переплетения, что позволяет в большей степени вывести фасонную нить на лицевую сторону ткани.

ВЫВОДЫ

Разработаны программа и блок-схема моделирования распределения эффектов по поверхности ткани на ЭВМ, а также методика программирования процессора; приведены примеры оформления тканей за счет функционального варьирования длины эффекта.

ЛИТЕРАТУРА

1. Авербух Д. И. Формирование пряжи с фасонными эффектами на кольцепрядильной машине для льна: Дис. ... канд. техн. наук. — М., 1974.
2. Минеев В. С., Федоров Ю. Б./Изв. вузов. Технология текстильной промышленности. — 1976, № 2. С. 71..74.
3. Землякова И. В. Распределение эффектов фасонной нити на ткани: Дис. ... канд. техн. наук. — Иваново, 1990.

Рекомендована кафедрой механической технологии волокнистых материалов. Поступила 06.12.96
